

4P119

N₂分子三重項リドベルク状態D³Σ_u⁺とG³Π_uの前期解離に関する理論的研究

慶應大・理工 ○櫻本 和弘、藪下 聰

【序論】 N₂分子の三重項リドベルク状態について D³Σ_u⁺、 E³Σ_g⁺、 G³Π_u¹⁾²⁾³⁾ の存在が知られており、また D³Σ_u⁺ – E³Σ_g⁺ 状態間の回転スペクトルの半値幅は回転量子数 J に依存していることが報告されている²⁾。2005 年に Fujino らは、その半値幅の J 依存性を詳細に調べるために、 D³Σ_u⁺ – E³Σ_g⁺ 遷移と G³Π_u – E³Σ_g⁺ 遷移の回転スペクトルを観測した⁴⁾。これによりスペクトルの半値幅は、前者において J(J+1) に比例して増大し、後者において J(J+1) に比例して減少することが明らかになった。本研究では、 Kanamori らに従って、この現象が電子一回転相互作用による D³Σ_u⁺ – G³Π_u 状態の混合と G³Π_u 状態から解離性 C'³Π_u 状態への前期解離に帰因するとして、半値幅の理論的評価を試みた。

【理論】 分子の回転が速くなると、小さな確率ながら電子は原子核の動きについていけなくなり、電子状態の混ざり合いが生じる。ここで考える D³Σ_u⁺、 G³Π_u リドベルク状態は、 N₂⁺イオンのまわりをゆるく束縛された電子(それぞれ 3pσ_u、 3pπ_u¹⁾)が回っているような状態であるので、核の回転によるその電子状態の混合はより顕著となる。この電子一回転相互作用は L-uncoupling operator $(1/2\mu R^2)(J^+L^- + J^-L^+)$ によって表され、混合後の電子状態は一次の摂動論によって表現される。

上で述べた現象について、 D³Σ_u⁺ 状態は混合により一部 G³Π_u 状態の性質を持ち、その G³Π_u 状態から解離性 C'³Π_u 状態への前期解離により半値幅を持つ。そしてその J(J+1) 依存性は D³Σ_u⁺ 状態と G³Π_u 状態の混合の強さが J(J+1) に依存するためであると考えられる。一方 G³Π_u 状態が一部 D³Σ_u⁺ 状態の成分を持つことにより、元々 G³Π_u 状態が持つ解離性 C'³Π_u 状態への前期解離の性質が、その混合の分だけ失われる。そしてその割合が J(J+1) に依存するため、半値幅も J(J+1) に依存して減少すると考えられる。

【計算方法】 N₂ 分子の各電子状態のポテンシャルエネルギー曲線について、基底関数系 aug-cc-pVTZ にリドベルク基底関数を加えたものを用いて COLUMBUS により FOCI 計算を行った。その結果、図 1 のようなポテンシャルエネルギー曲線が得られた。この結果と朱・中村理論を用いて、 G³Π_u から C'³Π_u 状態への非断熱遷移確率を求めた。また $(1/2\mu R^2)(J^+L^- + J^-L^+)$ を摂動項とし、 Fermi の黄金則を用いて D³Σ_u⁺ – G³Π_u 状態間の遷移確率を求めた。これらの遷移確率をまとめたものとエネルギーの不確定関係から D³Σ_u⁺(v=0,1) 状態と G³Π_u(v=0) 状態の半値幅を求めた。

【結果・考察】 電子状態間の混合を考えないときの G³Π_u(v=0,1) の半値幅として、 $\Gamma(v=0)=7.86\times10^{-5}\times J(J+1)+0.0759\text{ cm}^{-1}$ 、 $\Gamma(v=1)=3.12\times10^{-3}\times J(J+1)+6.03\text{ cm}^{-1}$ が

得られた。また摂動項として $(1/2\mu R^2)(\mathbf{J}^+ \mathbf{L}^- + \mathbf{J}^- \mathbf{L}^+)$ を用いた Fermi の黄金則より $D^3\Sigma_u^+ - G^3\Pi_u$ 状態間の遷移確率を求め、 $G^3\Pi_u$ から $C'^3\Pi_u$ 状態への非断熱遷移確率を考慮すると、それぞれの状態における $G^3\Pi_u(v=0,1)$ からの前期解離による半値幅が $J(J+1)$ に依存した次式のように得られた。この結果を実験値と共に図 2 に示した。

$$D^3\Sigma_u^+(v=0) \cdots \Gamma = 1.3 \times 10^{-5} \times J(J+1) \text{ cm}^{-1}$$

$$D^3\Sigma_u^+(v=1) \cdots \Gamma = 4.2 \times 10^{-5} \times J(J+1) \text{ cm}^{-1}$$

$$G^3\Pi_u(v=0) \cdots \Gamma = 7.8 \times 10^{-5} \times J(J+1) + 0.0759 \text{ cm}^{-1}$$

これより $D^3\Sigma_u^+(v=0)$

状態と $D^3\Sigma_u^+(v=1)$ 状態について $J(J+1)$ に比例して半値幅が増大することが定性的に示せたが、定量的には実験値と比べてそれぞれ $1/2$ 、 $1/5$ と小さい。また $G^3\Pi_u(v=0)$ の半値幅は $J(J+1)$ に比例して減少していることが示せず、**L-uncoupling** による $D^3\Sigma_u^+$ 状態と $G^3\Pi_u$ 状態の混ざり合いが原因であると断定することは出来なかった。

さらに $G^3\Pi_u(v=0)$ 状態の半値幅が $J(J+1)$ に比例して減少している現象について、SO 相互作用を含めて理論的解析を行っている。

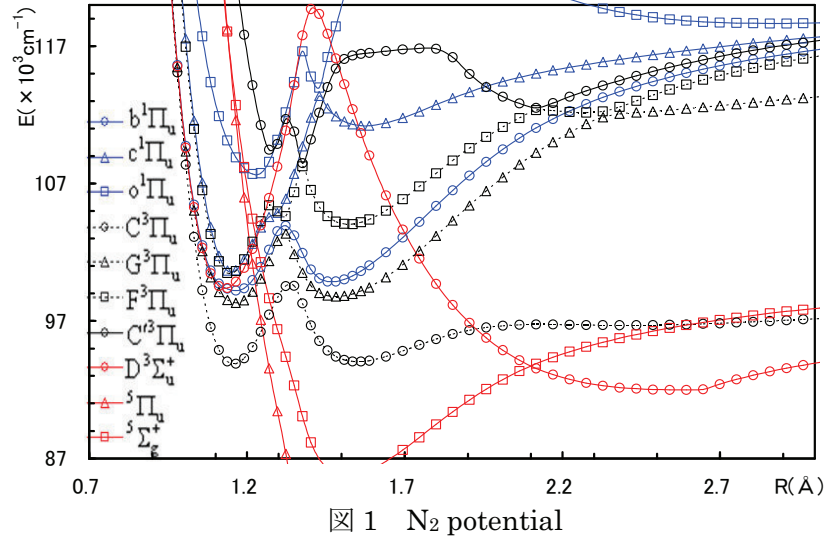


図 1 N_2 potential

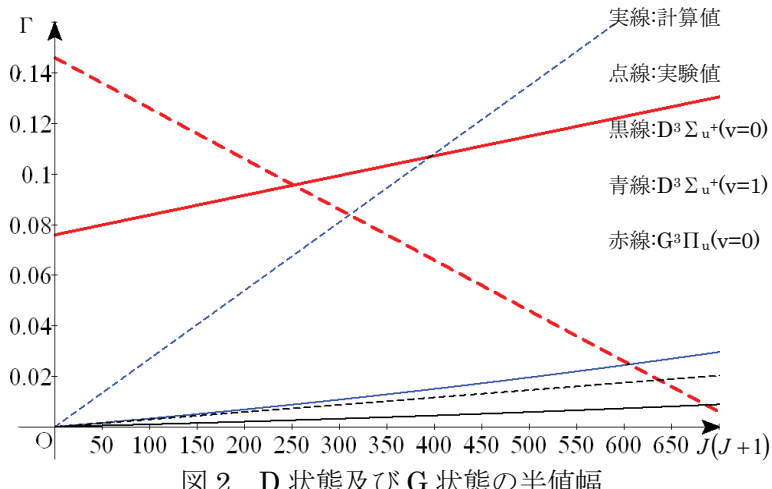


図 2 D 状態及び G 状態の半値幅

1) $D^3\Sigma_u^+ \cdots (1\pi_u)^4 (3\sigma_g) \beta p\sigma_u$ 、 $E^3\Sigma_g^+ \cdots (1\pi_u)^4 (3\sigma_g) \beta s\sigma_g$ 、 $G^3\Pi_u \cdots (1\pi_u)^4 (3\sigma_g) \beta p\pi_u$ 、 $C'^3\Pi_u \cdots (1\pi_u)^3 (3\sigma_g) (1\pi_g)^2$ 。ただし $(1\sigma_g)^2 (1\sigma_u)^2 (2\sigma_g)^2 (2\sigma_u)^2$ を共通して持つ。

2) H.Kanamori, S.Takashima, and K.Sakurai, *J.Chem.Phys.* **95**, 80(1991)

3) T.Hashimoto and H.Kanamori, *J.Mol.Spectrosc.* **235**, 104(2006)

4) 亀山 文孝、藤野 泰秀、金森 英人、分子構造総合討論会、2P102(2006)